### ОБЩАЯ И ФИЗИЧЕСКАЯ ХИМИЯ

УДК 541 (64-127:547.538.141)

## ИССЛЕДОВАНИЕ МЕХАНИЗМА ОБРАЗОВАНИЯ ПОЛИМЕРНО-МОНОМЕРНЫХ ЧАСТИЦ ПРИ ЭМУЛЬСИОННОЙ ПОЛИМЕРИЗАЦИИ МЕТИЛМЕТАКРИЛАТА

С. О. НАЛЧАДЖЯН, А. С. АСЛАНЯН в Н. М. БЕЙЛЕРЯН Ереванский государственный университет Поступило 26 III 1982

Исследована зависимость среднях диамстров полимерно-мономерных частиц от концентрации эмульгатора и инициатора при эмульсионной полимеризации метилметакрилата с применением неионогенного эмульгатора—оксиэтилированного гексадеканола и комплексного инициатора—триэтаноламин-персульфат калия. Установлено, что на ранней стадии полимеризации до определенной степени конверсии частицы диспергируются при повышении концентрации эмульгирующих компонентов. Показано, что изучаемые закономерности количественно описываются уравнениями, отражающими механизм, согласно которому частицы подвергаются диспергированию под влиянием эмульгирующего воздействия образующихся молекул полимера до достижения предельной степени конверсии, при которой получается достаточно высокая вязкость, исключающая диспергирование.

Рис. 1, табл. 1, библ. ссылок 7.

В работе [1] были исследованы зависимость среднего диаметра частиц  $(\bar{D})$  от концентрации инициатора (И) и эмульгатора (Э) и его изменение с конверсией при полимеризации метилметакрилата (ММА) в эмульсии с оксиэтилированным гексадеканолом (ОС-20) в присутствии водорастворимого комплексного инициатора -- смеси триэтаноламина (ТЭА) с персульфатом калия (ПК).  $\overline{D}$  определялся нефелометрическим способом [2]. Разбавление латексов для нефелометрического определения осуществлялось растворами, насыщенными мономером и содержащими эмульгатор с концентрацией больше ККМ. Таким путем предотвращались коагуляция и выход мономера из полимерно-мономерных частиц в водную фазу. Было установлено, что при конверсиях ниже определенного критического значения (около 10%)  $\bar{D}$  меняется во времени и с концентрацией Э в разбавляющем растворе. С повышением концентрации [Э]  $\overline{D}$  уменьшается в результате дальнейшего диопергирования эмульски. При конверсиях, превышающих 10%, наблюдался рост  $\overline{D}$  при понижении концентрации [Э], но при ее повышении не наблюдалось уменьшения  $\vec{D}$ . Было установлено также, что выше указанного предела  $ar{D}$  от степени конверсии не зависит. Были определены средние диаметры полимерно-мономерных частиц при 30% конверсии, что соответствует пределам устойчивости латексов. Полимеризация осуществлялась в условиях, описанных в [3] ( $t=30^\circ$ , 30% мономера от воды). В таблице и на рисунке приведены данные зависимости  $\overline{D}$  (среднеарифметические значения от пяти измерений) от концентрации [Э]

и [ТЭА]. Наблюдаемые нами закономерности идентичны с закономерностями, приведенными в [4].

Таблица
Изменение диаметров полимерно-мономерных частиц от концентрации амина при разных концентрациях эмульгатора

концентрациях эмуны втора			
С <sub>А</sub> ·10 <sup>3</sup> , моль/л	Сэ, молыл	<i>D̄<sub>i (эксп.)</sub>, Å</i>	DI (pacчет.), A
0	0,0267	1970	2111
2		1395	1414
4		1292	1307
6		1245	1276
8		1257	1250
10		1256	1228
12		1219	1208
0	0,0616	1105	1030
1		999	990
2		913	947
4		871	890
8		913	851
12		876	846

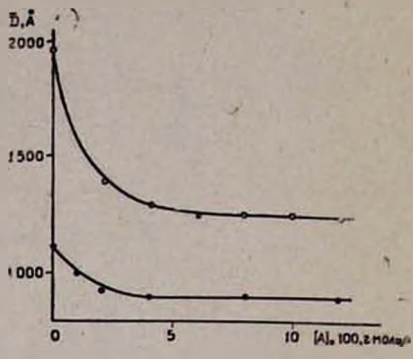


Рис. Зависимость диаметров полимерно-мономерных частиц от концентрации триэтаноламина при концентрациях эмульгатора: 
— 0,0267,
— 0,0616 моль/л.

Доказано, что исходная эмульсия не устойчива без механического перемешивания в пределах концентраций [Э], применяемых в данном исследовании. Предполагается, что эмульсия стабилизируется по ходу полимеризации вследствие эмульгирующего воздействия образующихся молекул полимера, как наблюдалось при полимеризации стирола [5].

В модели, принятой в основу нижеизложенной количественной трактовки процесса, изменение дисперсности эмульсии от концентрации инициатора расоматривается как результат двух противоположно действующих факторов: скорости полимеризации (растущей с ростом [И]), которая определяет продолжительность дополнительного эмульгирования до достижения предельной степени конверсии, выше которой частицы приобретают достаточную жесткость, исключающую эмульгирование; молекулярных масс образующихся полимерных молекул, определяющих их эмульгирующую способность, связанную с гидрофильногидрофобным балансом макромолекул. Рост [И] сокращает продолжительность эмульгирования, но повышает эмульгирующую способность полимера путем уменьшения молекулярных масс его молекул.

При наличии достаточной текучести массы частиц каждой концентрации эмульгатора соответствует определенное равновесное распределение их по размерам, к которому стремится система.

Можно показать, что при допущении шарообразной формы частиц имеем

$$\overline{D} = \frac{6v}{S} \cdot \frac{1}{f} \tag{1}$$

где

$$v = g_{\rm M}/\rho_{\rm M} + g_{\rm p}/\rho_{\rm p} \tag{2}$$

При симметричной кривой распределения

$$f = (1 + 3\overline{\delta^2}/\overline{D^2})/(1 + \overline{\delta^2}/\overline{D^2})$$

где

$$\overline{b}^{2} = \frac{1}{n} \sum_{i=1}^{n} (\overline{D} - \overline{D}_{i})^{2}$$

По данным, приведенным в [7],  $f \simeq 1,2$ .

Начальную равновесную величину суммарной поверхности ( $\overline{S}_0$ ) в присутствии только Э определяем по минимуму свободной энергии системы, выражая ее как функцию от величины поверхности раздела фаз.

$$G = G_0 + C_0 \mu_0 + S_7 \tag{3}$$

Распределение эмульгатора между поверхностным слоем и гомогенной фазой выражаем уравнением Ленгмюра

$$C_{s} = \frac{aC_{s}v}{b + C_{s}v} \tag{4}$$

По материальному балансу

$$S_{\partial} C_S + v C_{\partial v} = C_* \tag{5}$$

$$C_{\vartheta v} = \frac{2bC_{\mathfrak{s}}}{aS_{\mathfrak{s}} + b \cdot v - C_{\mathfrak{s}} + V \overline{(aS_{\mathfrak{s}} + bv - C_{\mathfrak{s}})^{\mathfrak{s}} + 4bvC_{\mathfrak{s}}}}$$
(6)

По условию гетерогенного равновесия

$$\mu_{\mathfrak{IS}} = \mu_{\mathfrak{IP}} \; ; \qquad \mu_{\mathfrak{I}} = \mu_{\mathfrak{IP}} \; ;$$

и, следовательно,

$$\mu_a = \mu_{av}^0 + RT \ln C_{sv} \tag{7}$$

При минимуме свободной энергни по уравнению (3) имеем

$$C_{\rm s} \frac{d\mu_{\rm o}}{dS_{\rm o}} + \sigma + S_{\rm o}^{\rm o} \frac{d\sigma}{dS_{\rm o}} + \frac{dG_{\rm o}}{dS_{\rm o}} = 0$$
 (8)

Совместное решение уражнений (6), (7) и (8) приводит к следующему выражению для действительного корня:

$$S_{b}^{0} = \left[ C_{b} \left( 1 - \sqrt{a^{2}q^{2} - 4bv/C_{b}} - bv \right) \right] / a \tag{9}$$

где

$$q = \frac{RT}{\left(\sigma + S_s^0 \frac{d\sigma}{dS_s} + \frac{dG_0}{dS_s}\right)}$$

В предлагаемом решении задачи допускается постоянство q в пределах указанного минимума.

Распределение полимерных молекул между поверхностью и объемом частиц обусловлено молекулярной массой, которая определяет гидрофильно-гидрофобный баланс. При данном приближении принимаем, что на поверхности частиц будут располагаться молекулы со степенью полимеризации менее определенной величины  $(N_1)$ . Дополнительная поверхность, образуемая ими

$$S_n^0 = a_{N,\gamma} M^0 S_n^0 \tag{10}$$

Замещая

$$M^{0}$$
 ү  $= \overline{W}_{n} t$  и  $a_{N_{n}} \overline{W}_{n} s_{n}^{0} = L$ 

получаем

$$S_n^0 = Lt \tag{11}$$

 $a_N$  — доля мономерных звеньев, находящихся в виде молекул со степенью полимеризации ниже  $N_1$ . Используя выражение для доли молекул со степенью полимеризации N [6] в полимере образующегося в какой-то гомогенной фазе i

$$P_{N} = (1 - \beta)^{2} N \beta^{N-1}$$
 (12)

паходим, что

$$a_{N_{i}(l)} = \frac{\sum_{1}^{N_{i}} NP_{N(l)}}{\sum_{1}^{n} P_{N(l)} N}$$

$$a_{N_1(i)} = 1 - \frac{\beta_i^{N_1-1}}{2} [(N_1+1) N_1 (1-\beta_i)^2 + 2(N_1+1) (1-\beta_i) \beta_i + 2\beta_i^2]$$
 (13)

Для расчета  $\beta_{I}$ , вероятности продолжения цепи, используем ее зависимость от  $\overline{N}_{I}$  (средняя степень полимеризации).

$$\overline{N}_{t} = \frac{\left(\sum_{1}^{\infty} NP_{N(t)}\right)}{\sum_{1}^{\infty} P_{N(t)}}; \qquad \overline{N}_{t} = 2/(1-\beta_{t})$$

И

$$\beta = (\overline{N}_i - 2)/\overline{N} \tag{14}$$

Для всего полимера образующиеся в частицах в 1 л водной фазы

$$a_{N_{1}} = \frac{\overline{W}_{x} a_{N_{1}(x)} + \overline{W}_{s} a_{N_{1}(s)} + \overline{W}_{n} a_{N_{1}(n)}}{\overline{W}} \gamma M^{0}$$
(15)

Равновесная величина суммарной поверхности частиц определяется уравнением

$$S_p = S_p^0 + Lt \tag{16}$$

Скорость роста поверхности частиц эмульгированием принимаем пропорциональной разности равновесной и фактической поверхности.

$$\frac{dS}{dt} = k_s (S_p - S)$$

$$\frac{dS}{dt} = k_s (S_0^0 + Lt - S)$$
(17)

Величину достигнутой суммарной поверхности частиц при прекращении процесса эмульгирования с достижением критической степени конверсии получаем интегрированием уравнеция (17)

$$S_{l_2} = \left[ \int_0^{l_1} dS \right]_{L=0} + \int_0^{l_2} dS$$
 (18)

где  $t_1$ —продолжительность диспергирования до начала полимеризации,  $t_2$ —продолжительность диспергирования после начала полимеризации

$$t_2 = \gamma_2 M^0 / \overline{W}_n \tag{19}$$

72—эффективная степень конверсии, при которой прекращается диспергирование.

В результате имеем:

$$S_{l_{s}} = f S_{s}^{0} \left( 1 - e^{-k_{s} t_{1}} \cdot e^{-k_{s} t_{2}} \right) + f s_{n}^{0} \gamma_{2} M^{0} a_{N_{s}} \left( 1 - \frac{1 - e^{-k_{s} \gamma_{2} M^{0} / \overline{W}_{n}}}{\underline{k}_{s} \gamma_{2} M^{0}} \right)$$

$$(20)$$

Зависимость  $\overline{W}_n$  и  $\overline{M}$  от концентраций [Э] и [И] и степени конверсии для начального периода полимеризации выражаем уравнениями, в основе которых лежит механизм, предложенный в работе [З]. Согласно [З] реажции полимеризации (роста, обрыва и т. д.) происходят в трех зонах: в слоях, образуемых молекулами эмульгатора на поверхности полимерно-мономерных частиц; в слоях, образуемых уже готовыми молекулами полимера; в некоторой степени в водной фазе. Свободные радикалы, рождающиеся в водной фазе, после некоторого роста поступают в эмульгаторный слой, откуда частымх—в полимерный слой. Мономер двигается в обратную сторону с ядра частицы. При выводе ниже приведенных уравнений учитывалось также образование полимерных молекул в водной фазе и разложение пероксида без взаимодействия с амином.

Рассматривая три гомогенные зоны—водную, эмульпаторную и полимерную—по условию стационарности относительно овободных радикалов имеем:

$$k_{\rm H} C_{\rm p} (k'_{\rm H}/k_{\rm H} + C_{\rm A}) - s_{\rm s} a_{\rm xcs} (\beta_{\rm xcs} R_{\rm x} - R_{\rm s}) - 2k_{\rm xco} R_{\rm x}^2 = 0$$
 (21)

$$s_* a_{ms} (\beta_{ms} R_m - R_s) - s_* a_{sn} (\beta_{ns} R_s - R_n) - 2k_{0s} v_* R_s^2 = 0$$
 (22)

$$s_{a_{n}} (\beta_{na} R_{a} - R_{n}) - 2k_{o_{n}} v_{n} R_{n}^{2} = 0$$
 (23)

Решение последних уравнений относительно  $R_*$ ,  $R_*$  и  $R_*$  численными методами удобно осуществить, исходя из следующих уравнений:

$$R_{n} = (1 - b_{0}) \beta_{n} R_{2} \tag{24}$$

$$R_{\bullet} = (1 - a_0) \beta_{\bullet \mathbf{x}} R_{\mathbf{x}} \tag{25}$$

$$R_{xx} = \frac{2k_{H}C_{p}\left(k'_{H}/k_{H} + C_{A}\right)}{s^{0}a_{xy}\beta_{xx}\alpha_{0}C_{y}J}$$
(26)

где

$$J = 1 + \sqrt{1 + \frac{B_1 (C_A + k'_H / k_H)}{a_0^2 C_2^2}}$$
 (27)

$$a_0 = 1 - \frac{2}{1 + B_3 b_0 + \sqrt{(1 + B_3 b_0)^2 + \frac{B_3 (k_u/k_u + C_A)}{a_0 C_2 J}}}$$
(28)

$$b_0 = 1 - \frac{2}{1 + \sqrt{1 + B_4 \frac{(1 - a_0) \gamma (k_B'/k_B + C_A)}{a_0 C_*^2 J}}}$$
(29)

В первом приближении суммарная поверхность частиц принимается пропорциональной концентрации [Э] ( $s_{\bullet} = C_{\bullet} s_{\bullet}^{0}$ ).

Для данных значений констант  $B_1 - B_4$  и  $k_{_{\rm H}}'/k_{_{\rm H}}$  численным способом рассчитываются  $a_0$  и  $b_0$  (действительные кории).

Скорость полимеризации для данной зоны выражается уравнением

$$W_{a(t)} = k_{a(t)} v_t R_t M_t$$

Предполатая, что между частицами и водной фазой имеется существенный градиент концентрации мономера, рассчитываем по условию стационарности потока мономера.

$$(M_{*}^{0} - M_{*}) d_{**} s = k_{p*} R_{*} M_{*}$$
(30)

Принимая  $M_{\infty}^0 = M$ ,  $s = s_{\bullet}^0 C_{\bullet}$  и используя уравнение (24), получаем

$$M_{*} = M/[1 + B_{e}(k'_{R}/k_{R} + C_{A})/C_{9}^{2} a_{0}J]$$
 (31)

$$W_{ux} = \frac{B_{5}}{1 + B_{5} - \frac{(k'_{10}/k_{10} + C_{A})}{C_{2}^{2} a_{0} J}} \cdot \frac{k'_{11}/k_{10} + C_{A}}{C_{5} a_{0} J}$$
(32)

$$W_{ns} = B_7 Z C_s (1 - a_0) (k_g / k_g - C_A) / C_s a_0 J$$
 (33)

$$W_{n\pi} = B_8 (1 - a_0) (1 - b_0) \gamma (k_{\rm H}/k_{\rm H} + C_{\rm A})/C_{\rm s} a_0 J \qquad (34)$$

$$W_n = W_{nx} + W_{ns} + W_{nn} \tag{35}$$

Скорость квадратичного обрыва выражается уравнением

$$W_{0(l)} = k_{0(l)} v_l R_l^2$$

$$W_{0x} = B_{\theta} \left( \frac{k_{H}' k_{H} + C_{A}}{C_{\theta} a_{0} J} \right) \tag{36}$$

$$W_{u_{0}} = B_{10}ZC_{s} (1 - a_{0}^{2}) \left( \frac{k_{H}^{\prime}/k_{H} + C_{A}}{C_{s} a_{0} J} \right)$$
 (37)

$$W_{0\pi} = B_{11} \gamma (1 - a_0)^2 (1 - b_0)^2 \left( \frac{k_{H}'/k_{H} + C_{A}}{C_{a} a_0 J} \right)^2$$
 (38)

$$W_0 = W_{0s} + W_{0s} + W_{0n}$$
 (39)

Средние степени полимеризации полимера, образующегося в каждой зоне до данной степени конверсии (7), рассчитывались по среднеарифметическим эначениям скоростей роста и обрыва

$$\overline{N}_{t} = \overline{W}_{n(t)} / \overline{W}_{0(t)}$$

а средняя степень полимеризации всего полимера рассчитывалась урав-

$$\overline{N} = \overline{W}_{n} / \overline{W}_{0} \tag{40}$$

Наивероятные значения  $B_0 - B_8$  были определены с использованием экопериментальных данных по скорости полимеризации, а  $B_9 - B_{11}$  по данным о средней степени полимеризации, приведенным в [3], путем нахождения их значений, соответствующих минимуму среднеквадратичного отклонения между экспериментальными и расчетными величинами. В обоих случаях последняя составляет менее 5%. Таким же образом были определены постоянные уравнений (9) и (20) для расчета  $\overline{D}$  по уравнению (1). Среднеквадратичное отклонение по  $\overline{D}$  составляет 51 Å, что соответствует дисперсии порядка 5%.

Возможность количественного описания рассмаприваемых закономерностей (данные таблицы и соответствующей кривой) наряду с качественными наблюдениями о наличии диспергирования на ранней стадии полимеризации и проявлении эмульгирующей способности молекул полимера [5] можно считать достаточно обоснованным предлагаемый механиэм образования частиц, по крайной мере, для эмульсионной полимеризации метилметакрилата.

## Обозначения

$$\begin{split} B_0 &= k_{\rm H}'/k_{\rm H} \,, \quad B_1 = 8k_{\rm GW} \, k_{\rm HW} \, C_{\rm P}/(s_{\rm B}^0 \, a_{_{\rm MS}} \, \beta_{_{\rm BW}})^2 \,, \qquad B_2 = 16k_{_{\rm HW}} \, C_{\rm P} \, k_{_{\rm OS}} \, v_{_{\rm S}}^0/(s_{_{\rm S}}^0 \, a_{_{\rm MS}})^2 \,, \\ B_3 &= a_{_{\rm SR}} \, \beta_{_{\rm HS}} / a_{_{_{\rm MS}}} \,, \qquad B_4 = 16k_{_{\rm OR}} \, v_{_{\rm H}}^0 M^0 \beta_{_{\rm HS}} \, k_{_{\rm HW}} \, C_{\rm P}/s_{_{\rm O}}^0 a_{_{\rm SR}} \, a_{_{_{\rm MS}}} \,, \\ B_5 &= 2k_{_{\rm PW}} \, k_{_{\rm HW}} \, C_{_{\rm P}} \, M \, Q_{_{\rm WS}}/s_{_{\rm B}}^0 a_{_{_{\rm WS}}} \, \beta_{_{_{\rm WS}}} \,, \qquad B_6 = 2k_{_{\rm PW}} \, k_{_{\rm HW}} \, C_{_{\rm P}}/a_{_{_{\rm M}}} \, a_{_{_{\rm WS}}} \, \beta_{_{_{\rm SW}}} \, s_{_{\rm O}}^0 \,, \\ B_7 &= 2k_{_{\rm PS}} \, k_{_{\rm HW}} \, C_{_{\rm P}} \, v_{_{\rm S}}^0 M \, Z/s_{_{\rm O}}^0 a_{_{_{\rm WS}}} \,, \qquad B_8 = 2k_{_{\rm PR}} \, k_{_{\rm HW}} \, C_{_{\rm P}} \, M^0 \, v_{_{\rm D}}^0 M \, \beta_{_{_{\rm MS}}}/s_{_{\rm O}}^0 \, a_{_{_{\rm WS}}} \,, \end{split}$$

$$B_{0} = k_{0m} (2k_{HM}C_{p}/s_{0}^{0} a_{nM} \beta_{nM})^{2}, \qquad B_{10} = k_{0m} v_{0}^{0} Z (k_{HM}C_{p}/s_{0}^{0} a_{nM})^{2},$$

$$B_{11} = k_{0m} v_{n}^{0} M^{0} (2k_{HM} \beta_{nm} C_{p}/s_{n}^{0} a_{Nm})^{2}.$$

 $C_{\rm A}$ ,  $C_{\rm P}$ ,  $C_{\rm S}$  — концентрации амина, пероксида и эмульгатора по водной фазе;  $k_{oj}$ ,  $k_{pj}$  — константы скоростей обрыва и роста в зоне j;  $W_{of}$ ,  $W_{pf}$  — скорости обрыва и роста в зоне f;  $a_{ij}$  — коэффициент массопередачи свободных радикалов между зонами і и ј; 🚓 — коэффициент массопередачи мономера между слоем эмульгатора и водной в на верхителните развителните распределения радикалов между зонами l и l;  $R_l$  — концентрация свободных радикалов в зоне l;  $l,\ j$  — обозначают: при ж — водную фазу, э — слой эмульгатора и  $\pi$ —слой полимера;  $v_n^0$ ,  $v_n^0$ — кинетически активные объемы, образуемые в слое эмульгатора, относящиеся к одному атому цепи Э и в слое полимера, относящиеся к одному звену молекулы полимера; со-поверхность, образуемая одной молекулой Э; М — концентрация мономера в слоях  $\Im$  и п;  $M_{*}$ ,  $M_{*}^{0}$  — концентрация мономера в основном объеме водной фазы и у поверхности раздела со слоем Э; Мо — исходное количество мономера (моль/л води, фазы); Z — число атомов в цепи молекулы эмульгатора; G,  $G_0$  — изобарно-изотермические потенциалы всей эмульсии и без эмульгатора; С. С. с. — концентрации Э на поверхности и в водной фазе; а, b — постоянные уравнения Ленгмюра (4); р, р, – химический потенциал Э на поверхности, в водной фазе и во всей системе; о -- поверхностное натяжение на поверхности частиц; S. - суммарная поверхность частиц (при эмульгировании только э), а  $s_{n}^{0}$  — при равновесии;  $S_{n}^{0}$  — часть поверхности частиц, образуемая полимером, s<sub>п</sub> одним звеном молекулы полимера; k. — константа скорости диспергирования; 72 — эффективная степень конверсии, при которой прекращается диспергирование;  $N_1$  — максимальная степень полимеризации молекул полимера, при которой проявляется эмульгирующее свойство.

 $B_1 = 0.04123$ ,  $B_2 = 1.924$ ,  $B_3 = 0.4543$ ,  $B_4 = 1.79 \text{ morb/n}$ ,  $B_5 = 7.085 \cdot 10^{-4} \text{ morb/n} \cdot c$ ,  $B_6 = 0.1017 \text{ morb/n}$ ,  $B_7 = 3.193 \cdot 10^{-4} \text{ n}^{-1} \cdot c^{-1}$ ,  $B_8 = 0.01352 \text{ morb/n} \cdot c$ ,  $B_9 = 2.2 \cdot 10^{-8} \text{ morb/n} \cdot c$ ,  $B_{10} = 9.656 \cdot 10^{-9} \text{ n}^{-1} \cdot c^{-1}$ ,  $B_{11} = 5.022 \cdot 10^{-7} \text{ morb/n} \cdot c$ ,  $k_{11}/k_{11} = 4.9 \cdot 10^{-5} \text{ morb/n}$ ,  $N_1 = 35740$ ,  $fs_1^0 = 0.0126 \text{ dm}^2/\text{morb}$ ,  $\gamma_2 = 0.0726$ ,  $k_1 = 0.0126$ ,  $t_1 = 210 \text{ c}$ ,  $t_2 = 3.00 \cdot 10^{-4} \text{ morb/n}$ ,  $t_3 = 0.0126$ ,  $t_4 = 0.0126$ ,  $t_5 = 0.0126$ ,  $t_6 = 0.0126$ ,  $t_7 = 0.00126$ ,  $t_8 = 0.$ 

ՊՈԼԻՄԵՐ–ՄՈՆՈՄԵՐԱՅԻՆ ՄԱՍՆԻԿՆԵՐԻ ԳՈՅԱՑՄԱՆ ՄԵԽԱՆԻԶՄԻ ՈՒՍՈՒՄՆԱՍԻՐՈՒԹՅՈՒՆԸ ՄԵԹԻԼՄԵՏԱԿՐԻԼԱՏԻ ԷՄՈՒԼՍԻՆ ՊՈԼԻՄԵՐՄԱՆ ԺԱՄԱՆԱԿ

U. 2. VALQUESAL, A. U. MULALBALL L L. U. POSIDISAL

Ուսումնատիրված է պոլիմեր-մոնոմերային մասնիկների միջին տրամագծերի կախվածությունը էմուլգատորի և Հարուցիչի կոնցենտրացիաներից մեթիլմետակրիլատի էմուլսիոն պոլիմերման ժամանակ, օգտագործելով օքսիէթիլենային հեջսադեկանոլ ոչ իոնոգեն էմուլգատոր և տրիէթանոլամինկալիումի պերսուլֆատ համակարգը։

Պարզված է, որ պոլիմերման սկզբնական շրջանում միջին փոխարկման որոշակի աստիճանում մասնիկները տրոհվում են էմուլդացնող բաղադրիչների կոնցևնտրացիայի մեծացման դեպքում։

Ցույց է տրված, որ հետազոտվող (նկատված) օրինաչափությունները բանակապես արտահայտվում են մեխանիզմը արտացոլող հավասարումներով, համաձայն որոնց պոլիմեր-մոնոմերային մասնիկները ենթարկվում են տրոհում առաջացնող պոլիմեր-մոլեկուլների էմուլգացնող ներգործության ազդեցությանը մինչև փոխարկման սահմանային աստիճանի հասնելը, որի դեպրում ստացվում է բավական բարձր՝ հետագա տրոհումը բացառող մա-ծուցիկություն։

# A STUDY OF THE POLYMER-MONOMER PARTICLE FORMATION MECHANISM DURING THE EMULSION POLYMERIZATION OF METHYL METHACRYLATE

S. O. NALCHAJIAN, A. S. ASLANIAN and N. M. BEYLERIAN

The dependence of the mean polymer-monomer particle diameters upon the concentrations of the nonionic emulsifier and initiator has been studied.

It has been assumed that in the case of an increase in the emulsifier concentration a further dispersion in the system occurs only in the earlier polymerization stage when the particles possess a high fluidity.

An equation has been derived explaining quantitatively the dispersion of the system under the action of polymer molecule formation until a value of viscosity has been reached in which case further dispersion ceases.

### ЛИТЕРАТУРА

- 1. Н. М. Бейлерян, Р. М. Акопян, Г. Д. Акопян, О. А. Чалтыкян, Арм. хим. ж., 25, 644 (1972).
- Р. Э. Нейман, В. Н. Вережников, А. П. Кирдеева, О. Г. Киселева, И. Н. Лебедева, О. А. Лященко, Практикум по коллондной химин, Изд. «Высшая школа», М., 1972, стр. 46.
- 3. А. С. Асланян, С. О. Налчаджян, Н. М. Бейлерян, Арм. хнм. ж., 23, 103 (1980).
- 4. В. И. Елисеева, Полимерные дисперсии, Изд. «Химия», М., 1980, стр. 81.
- 5. R. A. Cox, X. C. Wilkinson, J. M. Creasey, J. of polymer Sci. Polymer. Chem. Ed., 15, 2311 (1977).
- Х. С. Багдасарьян, Теория радикальной полимеризации, Изд. «Наука», М., 1966, стр. 21.
- 7. *И. А. Грицкова*, Докт. дисс., МИТХТ, М., 1979.

CONTRACTOR